

УДК 539.1

ДИНАМИЧЕСКАЯ УСТОЙЧИВОСТЬ ВЯЗКОУПРУГИХ ПЛАСТИН ПРИ ВОЗРАСТАЮЩИХ СЖИМАЮЩИХ НАГРУЗКАХ

Б. Х. Эшматов

Ташкентский институт ирригации и мелиорации, 700000 Ташкент, Узбекистан
E-mail: ebkh@mail.ru

Рассматривается задача о динамической устойчивости вязкоупругих ортотропных и изотропных пластин по обобщенной теории Тимошенко в геометрически нелинейной постановке. Задача решена с помощью метода Бубнова — Галеркина в сочетании с численным методом, основанным на использовании квадратурных формул. Показано влияние вязкоупругих и неоднородных свойств материала на процесс динамической устойчивости пластины.

Ключевые слова: теория Тимошенко, динамическая устойчивость, вязкоупругость, метод Бубнова — Галеркина.

Введение. Использование новых композиционных материалов в проектировании и создании прочных, легких и надежных конструкций требует совершенствования механических моделей деформируемых тел и разработки математических моделей их расчета с учетом реальных свойств конструкционных материалов. Как показывают многочисленные экспериментальные исследования, большинство композиционных материалов обладают ярко выраженными вязкоупругими свойствами [2–6] и являются неоднородными [6, 7].

Использование классической модели Кирхгофа — Лява хотя и позволяет получить достаточно точные решения ряда прикладных задач, однако в большинстве случаев они являются недостаточно полными [8]. Это в первую очередь относится к расчетам динамической устойчивости вязкоупругих оболочек из композиционных материалов, имеющих неоднородную анизотропную структуру [3, 6, 9]. Решению задач в такой постановке в случае упругого деформирования посвящены работы [7, 8, 10–13], в которых, однако, учитывались лишь отдельные свойства материалов конструкций.

В ряде работ вязкоупругие свойства материала учитывались только по сдвиговым направлениям (см., например, [3]). При этом в расчетах в качестве ядер релаксации принимались экспоненциальные ядра, которые не могут описать реальные процессы, происходящие в оболочках и пластинах в начальные моменты времени [14]. Выбор экспоненциального ядра в расчетах не случаен. Получаемые системы интегродифференциальных уравнений путем дифференцирования сводились к решению обыкновенных дифференциальных уравнений высокого порядка, которые в большинстве случаев решались известным численным методом Рунге — Кутты. Ранее существовавшие методы не позволяли решать такие задачи со слабосингулярными ядрами типа ядер Колтунова, Ржаницына, Абея, Работнова.

Благодаря разработанному численному методу [1], основанному на применении квадратурных формул, стало возможным решать системы нелинейных интегродифференциальных уравнений с сингулярными ядрами. Данный метод обеспечивает достаточно высокую точность получаемых результатов, универсален и позволяет решать широкий класс динамических задач теории вязкоупругости. На основе этого метода были получены численные результаты [2, 9], хорошо согласующиеся с экспериментальными данными.

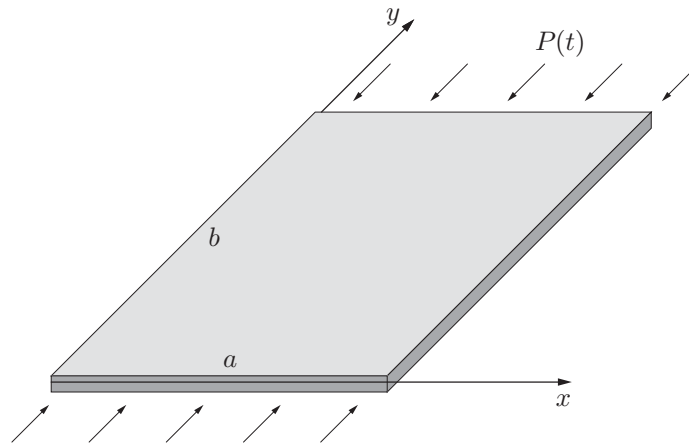


Рис. 1

Отметим, что если при решении задач динамики вязкоупругих систем в изотропной постановке в интегродифференциальных уравнениях присутствует только одно ядро релаксации с тремя различными реологическими параметрами вязкости, то в ортотропной постановке имеется 7 разных ядер, а количество различных реологических параметров увеличивается до 21, что приводит к громоздким вычислениям.

Цель данной работы — исследование динамической устойчивости вязкоупругих изотропных и ортотропных пластин на основе различных теорий и определение предела применимости этих гипотез при решении прикладных задач.

Расчет деформирования вязкоупругой изотропной прямоугольной пластины. Рассмотрим вязкоупругую изотропную прямоугольную пластину со сторонами a и b , сжатую в одном направлении вдоль стороны a (рис. 1). Примем, что усилия сжатия P возрастают пропорционально времени по закону $P(t) = vt$ (v — скорость нагружения).

Зависимость между напряжениями σ_x , σ_y , τ_{xy} и деформациями ε_x , ε_y , γ_{xy} примем в виде [8, 9]

$$\sigma_x = \frac{E}{1 - \mu^2} (1 - R^*) (\varepsilon_x + \mu \varepsilon_y), \quad x \leftrightarrow y, \quad \tau_{xy} = \frac{E}{2(1 + \mu)} (1 - R^*) \gamma_{xy}, \quad (1)$$

где E — модуль упругости; μ — коэффициент Пуассона; R^* — интегральный оператор с ядром релаксации $R(t)$: $R^* \varphi = \int_0^t R(t - \tau) \varphi(\tau) d\tau$. Здесь и далее символ $x \leftrightarrow y$ показывает, что остальные соотношения получаются круговой перестановкой индексов.

Геометрические соотношения между деформациями ε_x^z , ε_y^z , γ_{xy}^z и угловыми перемещениями ψ_x , ψ_y принимаем в виде [7, 8]

$$\varepsilon_x^z = \varepsilon_x + z \frac{\partial \psi_x}{\partial x}, \quad x \leftrightarrow y, \quad \gamma_{xy}^z = \gamma_{xy} + z \left(\frac{\partial \psi_x}{\partial y} + \frac{\partial \psi_y}{\partial x} \right). \quad (2)$$

Здесь ε_x , ε_y и γ_{xy} определяются из соотношений [8]

$$\varepsilon_x = \frac{\partial u}{\partial x} + \frac{1}{2} \left[\left(\frac{\partial w}{\partial x} \right)^2 - \left(\frac{\partial w_0}{\partial x} \right)^2 \right], \quad \varepsilon_y = \frac{\partial v}{\partial y} + \frac{1}{2} \left[\left(\frac{\partial w}{\partial y} \right)^2 - \left(\frac{\partial w_0}{\partial y} \right)^2 \right], \quad (3)$$

$$\gamma_{xy} = \frac{\partial u}{\partial y} + \frac{\partial v}{\partial x} + \frac{\partial w}{\partial x} \frac{\partial w}{\partial y} - \frac{\partial w_0}{\partial x} \frac{\partial w_0}{\partial y},$$

где $w_0 = w_0(x, y)$ — начальный прогиб пластины.

Подставляя (1) и (2) в уравнения движения элемента пластины [7, 8] и вводя функции усилия $\Phi = \Phi(x, y, t)$, получим систему интегродифференциальных уравнений относительно прогиба w , функции усилия Φ и угловых перемещений ψ_x, ψ_y

$$\begin{aligned} \frac{K^2 E}{2(1+\mu)} (1-R^*) \left(\nabla^2(w-w_0) + \frac{\partial \psi_x}{\partial x} + \frac{\partial \psi_y}{\partial y} \right) + L(w, \Phi) + \frac{q}{h} - P(t) \frac{\partial^2 w}{\partial x^2} - \rho \frac{\partial^2 w}{\partial t^2} = 0, \\ \frac{D}{h} (1-R^*) \left(\frac{\partial^2 \psi_x}{\partial x^2} + \frac{1}{2} (1+\mu) \frac{\partial^2 \psi_y}{\partial x \partial y} + \frac{1}{2} (1-\mu) \frac{\partial^2 \psi_y}{\partial y^2} \right) - \\ - \frac{K^2 E}{2(1+\mu)} (1-R^*) \left(\frac{\partial(w-w_0)}{\partial x} + \psi_x \right) - \rho \frac{h^2}{12} \frac{\partial^2 \psi_x}{\partial t^2} = 0, \quad x \leftrightarrow y, \\ \frac{1}{E} \nabla^4 \Phi = -\frac{1}{2} (1-R^*) [L(w, w) - L(w_0, w_0)], \end{aligned} \quad (4)$$

описывающую процесс динамической устойчивости вязкоупругой изотропной пластины [15], где h — толщина пластины; ρ — плотность материала пластины; D — цилиндрическая жесткость; $L(w, w) = 2 \left[\frac{\partial^2 w}{\partial x^2} \frac{\partial^2 w}{\partial y^2} - \left(\frac{\partial^2 w}{\partial x \partial y} \right)^2 \right]$, $L(w, \Phi) = \frac{\partial^2 w}{\partial x^2} \frac{\partial^2 \Phi}{\partial y^2} + \frac{\partial^2 \Phi}{\partial x^2} \frac{\partial^2 w}{\partial y^2} - 2 \frac{\partial^2 w}{\partial x \partial y} \frac{\partial^2 \Phi}{\partial x \partial y}$; коэффициент K определен в [7, 8].

Считая, что пластина шарнирно закреплена по краям, решение системы уравнений (4), удовлетворяющее граничным условиям задачи, будем искать в виде

$$\begin{aligned} w(x, y, t) &= \sum_{n=1}^N \sum_{m=1}^M w_{nm}(t) \sin \frac{n\pi x}{a} \sin \frac{m\pi y}{b}, \\ w_0(x, y) &= \sum_{n=1}^N \sum_{m=1}^M w_{0nm} \sin \frac{n\pi x}{a} \sin \frac{m\pi y}{b}, \\ \psi_x(x, y, t) &= \sum_{n=1}^N \sum_{m=1}^M \psi_{xnm}(t) \cos \frac{n\pi x}{a} \sin \frac{m\pi y}{b}, \\ \psi_y(x, y, t) &= \sum_{n=1}^N \sum_{m=1}^M \psi_{ynm}(t) \sin \frac{n\pi x}{a} \cos \frac{m\pi y}{b}, \end{aligned} \quad (5)$$

где $w_{nm} = w_{nm}(t)$, $\psi_{xnm} = \psi_{xnm}(t)$, $\psi_{ynm} = \psi_{ynm}(t)$ — неизвестные функции времени.

Подставляя выражения для прогибов w и w_0 из (5) в последнее уравнение системы (4) и приравнявая в обеих частях полученного уравнения коэффициенты при одинаковых тригонометрических функциях, запишем функцию усилий в виде

$$\begin{aligned} \Phi(x, y, t) = E \sum_{i,r=1}^N \sum_{j,s=1}^M (1-R^*) (w_{ij} w_{rs} - w_{0ij} w_{0rs}) \left[C_{ijrs} \cos \frac{(i+r)\pi x}{a} \cos \frac{(j+s)\pi y}{b} + \right. \\ \left. + A_{ijrs} \cos \frac{(i+r)\pi x}{a} \cos \frac{(j-s)\pi y}{b} + D_{ijrs} \cos \frac{(i-r)\pi x}{a} \cos \frac{(j+s)\pi y}{b} + \right. \\ \left. + B_{ijrs} \cos \frac{(i-r)\pi x}{a} \cos \frac{(j-s)\pi y}{b} \right] - \frac{P(t)y^2}{2}, \quad (6) \end{aligned}$$

где безразмерные коэффициенты A_{ijrs} , B_{ijrs} , C_{ijrs} , D_{ijrs} определяются аналогично работе [9].

Подставляя (5) и (6) в первые три уравнения системы (4) и выполняя процедуру Бубнова — Галеркина, получим

$$\begin{aligned} \frac{1}{S} \ddot{w}_{kl} - \left(\frac{k}{\lambda}\right)^2 t w_{kl} + \frac{5(1-\mu)}{4\pi^2} \delta^2 \left[\left(\frac{k}{\lambda}\right)^2 + l^2 \right] (1-R^*)(w_{kl} - w_{okl}) + \\ + \frac{5(1-\mu)}{4\pi^3} \delta^3 (1-R^*) \left[\left(\frac{k}{\lambda}\right) \psi_{xkl} + l \psi_{ykl} \right] = \\ = \frac{16\alpha_{kl}}{kl\pi^4} \frac{q}{P_{кр}^*} - \frac{1}{P_{кр}^*} \sum_{n,i,r=1}^N \sum_{m,j,s=1}^M a_{klnmijrs} w_{nm} (1-R^*) (w_{ij} w_{rs} - w_{oij} w_{ors}), \end{aligned} \quad (7)$$

$$\begin{aligned} \frac{1}{S} \ddot{\psi}_{xkl} + \frac{3}{\pi^2} \delta^2 \left[\left(\frac{k}{\lambda}\right)^2 + \frac{1}{2} (1-\mu) l^2 + \frac{5(1-\mu)}{\pi^2} \delta^2 \right] (1-R^*) \psi_{xkl} + \\ + \frac{3}{2\pi^2} \delta^2 (1+\mu) \frac{k}{\lambda} l (1-R^*) \psi_{ykl} + \frac{15(1-\mu)k}{\pi^3 \lambda} \delta^3 (1-R^*) (w_{kl} - w_{okl}) = 0, \end{aligned}$$

$$x \leftrightarrow y, \quad k, l = 1, 2, \dots$$

В (7) введены следующие безразмерные величины:

$$\begin{aligned} \frac{w_{kl}}{h}, \quad \frac{w_{okl}}{h}, \quad P^* = \frac{P}{E} \left(\frac{b}{h}\right)^2, \quad q^* = \frac{q}{E} \left(\frac{b}{h}\right)^4, \quad t^* = \frac{P}{P_{кр}} = \frac{vt}{P_{кр}} = \frac{\omega t}{\sqrt{S}} = \frac{P^*}{P_{кр}^*}, \\ \frac{\sqrt{S}}{\omega} R(t), \quad S = P_{кр}^{*3} \left(\frac{\pi c E h^3}{v b^4}\right)^2, \quad P_{кр}^* = \frac{P_{кр}}{E} \left(\frac{b}{h}\right)^2 = \frac{\pi^2}{3(1-\mu^2)}, \end{aligned}$$

где $P_{кр} = \pi^2 E h^2 / (3(1-\mu^2) b^2)$ — статическая критическая нагрузка; $\omega = \sqrt{\pi^2 E h^2 P_{кр}^* / (\rho b^4)}$ — частота основного тона колебаний; $c = \sqrt{E/\rho}$ — скорость звука в материале пластины; S — безразмерный параметр скорости нагружения; $\lambda = a/b$; $\delta = b/h$; коэффициент $\alpha_{kl} = 1$, если k и l нечетные, если же хотя бы один из этих параметров четный, то $\alpha_{kl} = 0$; коэффициент $a_{klnmijrs}$ определяется аналогично работе [9].

Интегрирование системы (7) осуществлялось численным методом, основанным на применении квадратурных формул [1]. При расчетах использовалось простейшее и в то же время достаточно общее слабосингулярное ядро Колтунова — Ржаницына с тремя реологическими параметрами вида $R(t) = A e^{-\beta t} t^{\alpha-1}$ ($0 < \alpha < 1$) [14].

Результаты вычислений представлены на рис. 2–4. Здесь, как и в работе [8], в качестве критерия, определяющего критическое время, а вместе с тем и критическую нагрузку, принято условие, что стрела прогиба не должна превышать толщину пластины. В качестве параметра, определяющего устойчивость пластины, принят K_D — коэффициент динамичности, равный отношению динамической критической нагрузки к эйлеровой статической.

На рис. 2 приведены результаты расчета деформирования квадратной пластины ($\lambda = 1$) с начальной стрелой $w_0 = 10^{-4}$ при отсутствии поперечной нагрузки ($q = 0$). Кривая 1 на рисунке соответствует расчету, при котором вязкоупругие свойства материала пластины не учитываются (упругий случай), кривая 2 — результатам, полученным при экспоненциальном ядре релаксации, и кривая 3 — при ядре Колтунова — Ржаницына. Как показывают исследования, в этих случаях больших различий в значениях K_D нет.

Изучалось также влияние параметра β на поведение пластины. Полученные результаты показывают, что изменения параметра β в интервале $0 < \beta < 1$ не оказывают существенного влияния на изменение критического времени и критической нагрузки. Это говорит о неприемлемости уравнений с экспоненциальными ядрами релаксации, которые часто используются при расчетах динамических задач вязкоупругих систем.

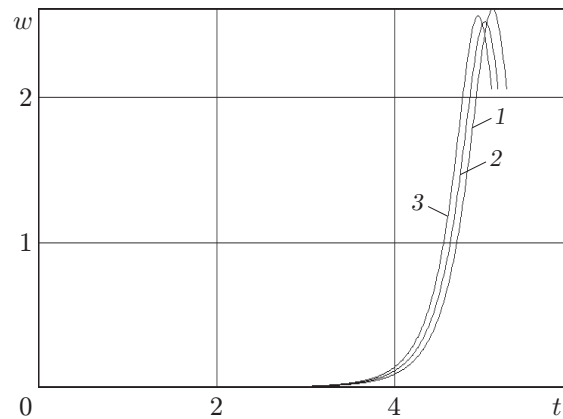


Рис. 2

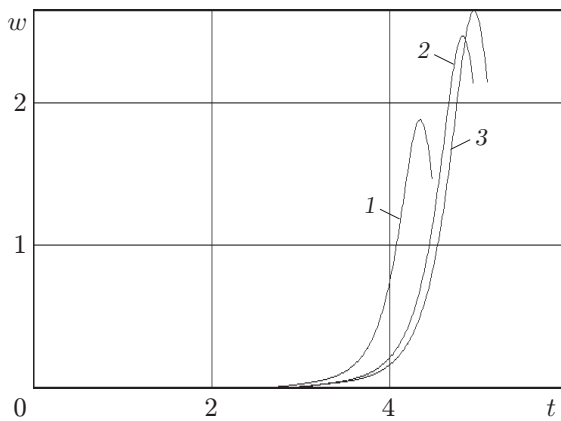


Рис. 3

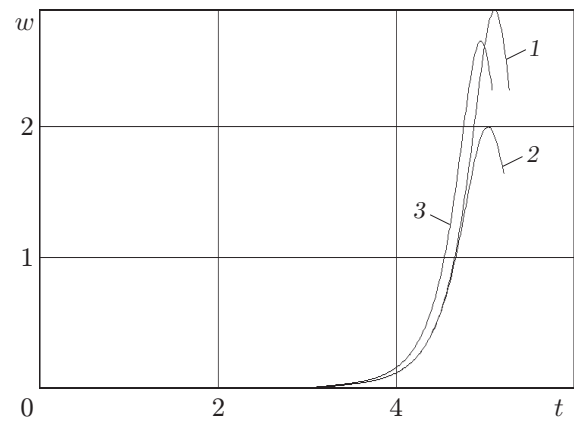


Рис. 4

На рис. 3 приведен график функции w вязкоупругой квадратной пластины для различных значений геометрического параметра δ . При $\delta = 10, 20$ и 30 (кривые 1, 2, 3 соответственно) “критические” значения K_D равны 4,1; 4,4; 4,5. Заметим, что увеличение параметра δ приводит к перемещению всех кривых в сторону больших значений t , следовательно, к увеличению коэффициента динамичности. Здесь и далее в расчетах будут использованы следующие исходные данные: $A = 0,05$; $\beta = 0,25$; $\alpha = 0,25$ (если не оговорены другие).

На рис. 4 представлено сравнение результатов, полученных для квадратной пластины при $\delta = 20$ по различным теориям: Кирхгофа — Лява (кривая 1), Бергера (кривая 2) и Тимошенко (кривая 3). Как видно на рисунке, хотя результаты, полученные по гипотезам Кирхгофа — Лява и Бергера качественно отличаются друг от друга, однако критические значения K_D при этом одинаковы и составляют 4,7. По теории Тимошенко критическое значение составляет 4,5.

В таблице приведены результаты численного решения задачи о динамической устойчивости вязкоупругой изотропной пластины при различных геометрических и физических параметрах пластины, полученные по различным теориям. Анализ этих результатов показывает, что решения на основе теории Тимошенко дают заниженные или завышенные значения коэффициента динамичности по сравнению с полученными на основе теорий Бергера и Кирхгофа — Лява в зависимости от физико-механических и геометрических параметров пластины.

A	α	q	λ	w_0	S	δ	Значения K_D , полученные в решениях задачи по теориям		
							Бергера	Кирхгофа — Лява	Тимошенко
0,1	0,25	0	1	10^{-4}	1	20	4,87	4,45	4,35
0,03	0,25	0	1	10^{-4}	1	20	4,92	4,82	4,92
0,05	0,25	0	1	10^{-4}	1	20	4,90	4,75	4,77
0,08	0,25	0	1	10^{-4}	1	20	4,70	4,67	4,52
0,1	0,1	0	1	10^{-4}	1	20	3,32	3,05	3,15
0,1	0,5	0	1	10^{-4}	1	20	4,92	4,80	4,75
0,1	0,75	0	1	10^{-4}	1	20	4,92	4,85	4,85
0,1	0,25	1	1	10^{-4}	1	20	3,80	3,57	3,57
0,1	0,25	10	1	10^{-4}	1	20	2,10	1,97	1,97
0,1	0,25	0	2	10^{-4}	1	20	4,25	4,37	4,37
0,1	0,25	0	1	10^{-2}	1	20	3,45	3,17	3,22
0,1	0,25	0	1	10^{-1}	1	20	3,17	2,25	2,40
0,1	0,25	0	1	10^{-4}	0,1	20	8,15	7,47	7,25
0,1	0,25	0	1	10^{-4}	0,5	20	5,85	5,12	5,05
0,1	0,25	0	1	10^{-4}	10	20	3,05	2,67	2,65
0,1	0,25	0	1	10^{-4}	1	200	4,87	4,45	4,45
0,1	0,25	0	1	10^{-4}	1	10	4,87	4,45	4,10

Расчет деформирования вязкоупругих ортотропных прямоугольных пластин. Рассмотрим ту же задачу для вязкоупругой ортотропной пластины. В этом случае соотношения между напряжениями $\sigma_x, \sigma_y, \tau_{xy}, \tau_{xz}, \tau_{yz}$ и деформациями $\varepsilon_x, \varepsilon_y, \gamma_{xy}, \gamma_{xz}, \gamma_{yz}$ запишем в следующем виде [7, 14]:

$$\begin{aligned} \sigma_x &= B_{11}(1 - R_{11}^*)\varepsilon_x + B_{12}(1 - R_{12}^*)\varepsilon_y, & x \leftrightarrow y, & 1 \leftrightarrow 2, \\ \tau_{xy} &= 2B(1 - R^*)\gamma_{xy}, & \tau_{xz} &= 2B_{13}(1 - R_{13}^*)\gamma_{xz}, & x \leftrightarrow y, & 1 \leftrightarrow 2, \end{aligned} \quad (8)$$

где B_{ij}, B — упругие постоянные; R_{ij}^*, R^* — интегральные операторы с ядрами релаксации $R_{ij}(t), R(t)$:

$$R^*\varphi = \int_0^t R(t-\tau)\varphi(\tau) d\tau, \quad R_{ij}^*\varphi = \int_0^t R_{ij}(t-\tau)\varphi(\tau) d\tau, \quad i = 1, 2; \quad j = 1, 2, 3.$$

Связь между деформациями $\varepsilon_x^z, \varepsilon_y^z, \gamma_{xy}^z$ и угловыми перемещениями ψ_x, ψ_y примем в виде (2). Подставляя (2) и (8) в уравнения движения элемента пластины, получим следующую систему интегродифференциальных уравнений относительно перемещений u, v , прогиба w и угловых перемещений ψ_x, ψ_y :

$$\begin{aligned} & B_{11}(1 - R_{11}^*) \frac{\partial \varepsilon_x}{\partial x} + B_{12}(1 - R_{12}^*) \frac{\partial \varepsilon_y}{\partial x} + 2B(1 - R^*) \frac{\partial \gamma_{xy}}{\partial y} - \rho \frac{\partial^2 u}{\partial t^2} = 0, \\ & B_{22}(1 - R_{22}^*) \frac{\partial \varepsilon_y}{\partial y} + B_{21}(1 - R_{21}^*) \frac{\partial \varepsilon_x}{\partial y} + 2B(1 - R^*) \frac{\partial \gamma_{xy}}{\partial x} - \rho \frac{\partial^2 v}{\partial t^2} = 0, \\ & -2K^2 \left[B_{13}(1 - R_{13}^*) \left(\frac{\partial^2(w - w_0)}{\partial x^2} + \frac{\partial \psi_x}{\partial x} \right) + B_{23}(1 - R_{23}^*) \left(\frac{\partial^2(w - w_0)}{\partial y^2} + \frac{\partial \psi_y}{\partial y} \right) \right] - \\ & - \frac{\partial}{\partial x} \left\{ \frac{\partial w}{\partial x} [B_{11}(1 - R_{11}^*)\varepsilon_x + B_{12}(1 - R_{12}^*)\varepsilon_y] + 2B \frac{\partial w}{\partial y} (1 - R^*)\gamma_{xy} \right\} - \end{aligned} \quad (9)$$

$$\begin{aligned}
& - \frac{\partial}{\partial y} \left\{ \frac{\partial w}{\partial y} [B_{22}(1 - R_{22}^*)\varepsilon_y + B_{21}(1 - R_{21}^*)\varepsilon_x] + 2B \frac{\partial w}{\partial x} (1 - R^*)\gamma_{xy} \right\} - \\
& \qquad \qquad \qquad - \frac{q}{h} + P(t) \frac{\partial^2 w}{\partial x^2} + \rho \frac{\partial^2 w}{\partial t^2} = 0, \\
& \frac{B_{11}h^2}{12} (1 - R_{11}^*) \frac{\partial^2 \psi_x}{\partial x^2} + \frac{B_{12}h^2}{12} (1 - R_{12}^*) \frac{\partial^2 \psi_y}{\partial x \partial y} + \frac{Bh^2}{6} (1 - R^*) \left(\frac{\partial^2 \psi_x}{\partial y^2} + \frac{\partial^2 \psi_y}{\partial x \partial y} \right) - \\
& \qquad - 2K^2 B_{13} (1 - R_{13}^*) \left(\frac{\partial(w - w_0)}{\partial x} + \psi_x \right) - \frac{\rho h^2}{12} \frac{\partial^2 \psi_x}{\partial t^2} = 0, \quad x \leftrightarrow y, \quad 1 \leftrightarrow 2,
\end{aligned}$$

где ε_x , ε_y и γ_{xy} определяются из соотношений (3).

Подставляя выражения для прогибов и угловых перемещений (5), а также соотношения для перемещений u и v

$$\begin{aligned}
u(x, y, t) &= \sum_{n=1}^N \sum_{m=1}^M u_{nm}(t) \cos \frac{n\pi x}{a} \sin \frac{m\pi y}{b}, \\
v(x, y, t) &= \sum_{n=1}^N \sum_{m=1}^M v_{nm}(t) \sin \frac{n\pi x}{a} \cos \frac{m\pi y}{b}
\end{aligned}$$

в систему (9) и применяя процедуру Бубнова — Галеркина, получим систему обыкновенных нелинейных интегродифференциальных уравнений вида

$$\begin{aligned}
\frac{1}{S} \ddot{u}_{kl} + \left[\frac{6\Delta\delta^2 k^2}{\pi^2 \lambda^2 \eta} (1 - R_{11}^*) + \frac{6g\delta^2 l^2 (1 - \mu_1 \mu_2)}{\pi^2 \eta} (1 - R^*) \right] u_{kl} = \\
= - \frac{6\delta^2 kl}{\pi^2 \lambda \eta} [\Delta\mu_2 (1 - R_{12}^*) + g(1 - \mu_1 \mu_2)(1 - R^*)] v_{kl} + \\
+ \frac{6\Delta\delta}{\pi^3 \lambda^3 \eta} \sum_{n,i=1}^N \sum_{m,j=1}^M n i^2 \mu_{nik} \beta_{mjl} (1 - R_{11}^*) (w_{nm} w_{ij} - w_{0nm} w_{0ij}) + \\
+ \frac{6\Delta\delta \mu_2}{\pi^3 \lambda \eta} \sum_{n,i=1}^N \sum_{m,j=1}^M m i j \gamma_{nik} \alpha_{mjl} (1 - R_{12}^*) (w_{nm} w_{ij} - w_{0nm} w_{0ij}) + \\
+ \frac{6g\delta (1 - \mu_1 \mu_2)}{\pi^3 \lambda \eta} \sum_{n,i=1}^N \sum_{m,j=1}^M (m i j \gamma_{nik} \alpha_{mjl} + n j^2 \mu_{nik} \beta_{mjl}) (1 - R^*) (w_{nm} w_{ij} - w_{0nm} w_{0ij}), \\
\frac{1}{S} \ddot{v}_{kl} + \left[\frac{6\delta^2 l^2}{\pi^2 \Delta \eta} (1 - R_{22}^*) + \frac{6g\delta^2 k^2 (1 - \mu_1 \mu_2)}{\pi^2 \lambda^2 \eta} (1 - R^*) \right] v_{kl} = \\
= - \frac{6\delta^2 kl}{\pi^2 \Delta \lambda \eta} [\mu_1 (1 - R_{21}^*) + \Delta g (1 - \mu_1 \mu_2)(1 - R^*)] u_{kl} + \\
+ \frac{6\delta}{\Delta \pi^3 \eta} \sum_{n,i=1}^N \sum_{m,j=1}^M m j^2 \beta_{nik} \mu_{mjl} (1 - R_{22}^*) (w_{nm} w_{ij} - w_{0nm} w_{0ij}) + \\
+ \frac{6\delta \mu_1}{\Delta \pi^3 \lambda^2 \eta} \sum_{n,i=1}^N \sum_{m,j=1}^M n i j \alpha_{nik} \gamma_{mjl} (1 - R_{21}^*) (w_{nm} w_{ij} - w_{0nm} w_{0ij}) +
\end{aligned}$$

$$\begin{aligned}
& + \frac{6g\delta(1-\mu_1\mu_2)}{\pi^3\lambda^2\eta} \sum_{n,i=1}^N \sum_{m,j=1}^M (nij\alpha_{nik}\gamma_{mjl} + n^2j\beta_{nik}\gamma_{mjl})(1-R^*)(w_{nm}w_{ij} - w_{0nm}w_{0ij}), \\
\frac{1}{S} \ddot{w}_{kl} - \left(\frac{k}{\lambda}\right)^2 tw_{kl} & + \frac{3K^2\delta^2(1-\mu_1\mu_2)}{2\pi^4\eta} [4g_{13}\pi^2k^2(1-R_{13}^*)w_{kl} + 4g_{13}\pi\delta k(1-R_{13}^*)\psi_{xkl} + \\
& + g_{23}\lambda^2l^2(1-R_{23}^*)w_{kl} + 2g_{23}\lambda\delta l(1-R_{23}^*)\psi_{ykl}] + \frac{6\lambda^2\delta^2}{\Delta\pi^4\eta} (1-R_{22}^*)(w_{kl} - w_{0kl}) = \\
= \sum_{n,i,k=1}^N \sum_{m,j,l=1}^M w_{nm} & \left[\frac{6\Delta\delta}{\pi^3\eta} a_{nmijkl}(1-R_{11}^*) + \frac{3g\lambda^2\delta(1-\mu_1\mu_2)}{2\pi^5\eta} c_{nmijkl}(1-R^*) + \right. \\
& \left. + \frac{3\mu_1\lambda^2\delta}{2\Delta\pi^5\eta} f_{nmijkl}(1-R_{21}^*) \right] u_{ij} + \\
+ \sum_{n,i,k=1}^N \sum_{m,j,l=1}^M w_{nm} & \left[\frac{3\Delta\mu_2\lambda\delta}{\pi^4\eta} b_{nmijkl}(1-R_{12}^*) + \frac{3g\lambda\delta(1-\mu_1\mu_2)}{\pi^4\eta} d_{nmijkl}(1-R^*) + \right. \\
& \left. + \frac{3\lambda^3\delta}{4\Delta\pi^6\eta} e_{nmijkl}(1-R_{22}^*) \right] v_{ij} - \\
- \sum_{n,i,k,r=1}^N \sum_{m,j,l,s=1}^M w_{nm} & \left[\frac{3\Delta}{16\eta} h_{nmijklrs}(1-R_{11}^*) - \frac{3\Delta\mu_2\lambda^2}{64\pi^2\eta} p_{nmijklrs}(1-R_{12}^*) + \right. \\
& + \frac{3g\lambda^2(1-\mu_1\mu_2)}{32\pi^2\eta} g_{nmijklrs}(1-R^*) + \frac{3\lambda^4}{256\Delta\pi^4\eta} q_{nmijklrs}(1-R_{22}^*) - \\
& \left. - \frac{3\mu_1\lambda^2}{64\Delta\pi^2\eta} r_{nmijklrs}(1-R_{21}^*) \right] (w_{ij}w_{rs} - w_{0ij}w_{0rs}) - \quad (10) \\
- \sum_{n,i,k=1}^N \sum_{m,j,l=1}^M & \left[\frac{3\lambda^3\delta}{4\Delta\pi^6\eta} mj\beta_{nik}\alpha_{mjl}(1-R_{22}^*) + \right. \\
& \left. + \frac{3\mu_1\lambda\delta}{\Delta\pi^4\eta} ni\alpha_{nik}\beta_{mjl}(1-R_{21}^*) \right] (w_{nm}w_{ij} - w_{0nm}w_{0ij}) + \\
+ \sum_{n,i,k=1}^N \sum_{m,j,l=1}^M w_{nm} & \left[\frac{6\Delta\mu_2\lambda\delta}{\pi^4\eta} s_{nmijkl}(1-R_{12}^*) + \frac{3\lambda^3\delta}{2\Delta\pi^6\eta} x_{nmijkl}(1-R_{22}^*) \right] (w_{ij} - w_{0ij}) - \\
& - \frac{3\lambda^2\delta^2l}{\Delta\pi^4\eta} (1-R_{22}^*)v_{kl} - \frac{6\mu_1\lambda\delta^2k}{\Delta\pi^3\eta} (1-R_{21}^*)u_{kl} + \frac{96\alpha_{kl}(1-\mu_1\mu_2)}{\pi^6\eta kl} q, \\
\frac{1}{S} \ddot{\psi}_{xkl} + \frac{6\Delta\delta^2k^2}{\pi^2\eta} (1-R_{11}^*)\psi_{xkl} & + \frac{3\Delta\mu_2\lambda\delta^2kl}{\pi^3\eta} (1-R_{12}^*)\psi_{ykl} + \\
& + \frac{3g\lambda^2\delta^2l^2(1-\mu_1\mu_2)}{2\pi^4\eta} (1-R^*)\psi_{xkl} + \frac{3g\lambda\delta^2kl(1-\mu_1\mu_2)}{\pi^3\eta} (1-R^*)\psi_{ykl} + \\
& + \frac{72K^2g_{13}\delta^3k(1-\mu_1\mu_2)}{\pi^3\eta} (1-R_{13}^*)w_{kl} + \frac{72K^2g_{13}\delta^4(1-\mu_1\mu_2)}{\pi^4\eta} (1-R_{13}^*)\psi_{xkl} = 0,
\end{aligned}$$

$$\begin{aligned}
& \frac{1}{S} \ddot{\psi}_{ykl} + \frac{3\lambda^2 \delta^2 l^2}{2\Delta \pi^4 \eta} (1 - R_{22}^*) \psi_{ykl} + \frac{3\mu_1 \lambda \delta^2 kl}{\Delta \pi^3 \eta} (1 - R_{21}^*) \psi_{xkl} + \\
& + \frac{3g\lambda \delta^2 kl(1 - \mu_1 \mu_2)}{\pi^3 \eta} (1 - R^*) \psi_{xkl} + \frac{6g\delta^2 k^2(1 - \mu_1 \mu_2)}{\pi^2 \eta} (1 - R^*) \psi_{ykl} + \\
& + \frac{36K^2 g_{23} \lambda \delta^3 l(1 - \mu_1 \mu_2)}{\pi^4 \eta} (1 - R_{23}^*) w_{kl} + \frac{72K^2 g_{23} \delta^4 (1 - \mu_1 \mu_2)}{\pi^4 \eta} (1 - R_{23}^*) \psi_{ykl} = 0, \\
& k, l = 1, 2, \dots
\end{aligned}$$

В (10) введены следующие безразмерные величины:

$$\begin{aligned}
& \frac{w_{kl}}{h}, \quad \frac{w_{0kl}}{h}, \quad \frac{u_{kl}}{h}, \quad \frac{v_{kl}}{h}, \quad P^* = \frac{P}{\sqrt{E_1 E_2}} \left(\frac{b}{h}\right)^2, \quad q^* = \frac{q}{\sqrt{E_1 E_2}} \left(\frac{b}{h}\right)^4, \\
& t^* = \frac{P}{P_{кр}} = \frac{vt}{P_{кр}} = \frac{\omega t}{\sqrt{S}} = \frac{P^*}{P_{кр}^*}, \quad \frac{\sqrt{S}}{\omega} R(t), \quad \frac{\sqrt{S}}{\omega} R_{ij}(t), \quad i = 1, 2, \quad j = 1, 2, 3, \\
& S = P_{кр}^{*3} \left(\frac{\pi c \sqrt{E_1 E_2} h^3}{vb^4}\right)^2, \quad P_{кр}^* = \frac{P_{кр}}{\sqrt{E_1 E_2}} \left(\frac{b}{h}\right)^2 = \frac{\pi^2}{6(1 - \mu_1 \mu_2)} \eta,
\end{aligned}$$

где $P_{кр} = \pi^2 \sqrt{E_1 E_2} h^2 \eta / (6(1 - \mu_1 \mu_2) b^2)$ — статическая критическая нагрузка; $c = \sqrt{\sqrt{E_1 E_2} / \rho}$; $\omega = \sqrt{\pi^2 \sqrt{E_1 E_2} h^2 P_{кр}^* / (\rho b^4)}$; $\Delta = \sqrt{E_1 / E_2}$; $g = G / \sqrt{E_1 E_2}$; $\eta = 1 + \Delta \mu_2 + 2(1 - \mu_1 \mu_2)g$; E_1, E_2 — модули упругости, μ_1, μ_2 — коэффициенты Пуассона, удовлетворяющие условию $E_1 \mu_2 = E_2 \mu_1$; остальные коэффициенты этой системы приведены в [9].

Интегрирование системы (10) также проводилось численным методом, основанным на применении квадратурных формул [1].

На рис. 5 и 6 приведены результаты расчетов деформирования вязкоупругой ортотропной квадратной пластины с учетом деформации сдвига и инерции вращения при $\Delta = 1,5$ и $\delta = 20$.

На рис. 5 представлены зависимости $w(t)$ для различных вязкоупругих свойств материала конструкции. Кривая 1 соответствует случаю, когда вязкоупругие свойства материала не учитываются ($A = A_{ij} = 0, i = 1, 2; j = 1, 2, 3$ — упругий случай), кривая 2 — случаю (применяемому в работе [3] при исследовании вязкоупругих ортотропных конструкций $A = A_{13} = A_{23} = 0$), когда вязкоупругие свойства материала учитываются только по сдвиговым направлениям, и кривая 3 — случаю, когда вязкоупругие свойства материала учитываются одинаково по всем направлениям ($A = A_{ij} = 0,1, i = 1, 2, j = 1, 2, 3$). Как видно на рисунке, результаты, полученные в упругом случае, почти совпадают с результатами, полученными в случае учета вязкоупругих свойств материала только по сдвиговым направлениям. Кроме того, учет вязкоупругих свойств материала приводит к более раннему интенсивному возрастанию прогибов соответственно уменьшению критических значений $K_{Д}$.

На рис. 6 приведены зависимости $w(t)$ для различной степени анизотропии материала пластины. Как видно на рисунке, увеличение параметра Δ , определяющего степень анизотропии (кривая 1 — $\Delta = 1$; кривая 2 — $\Delta = 2$ и кривая 3 — $\Delta = 3$), приводит к более позднему интенсивному возрастанию прогибов соответственно увеличению критического значения $K_{Д}$. Аналогичные результаты наблюдаются в экспериментах, проведенных с участием конструкций из композитных материалов [8]. Это подтверждает обоснованность выбранного метода и достоверность полученных результатов.

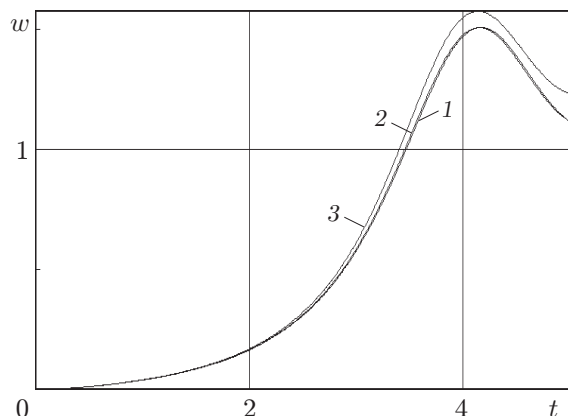


Рис. 5

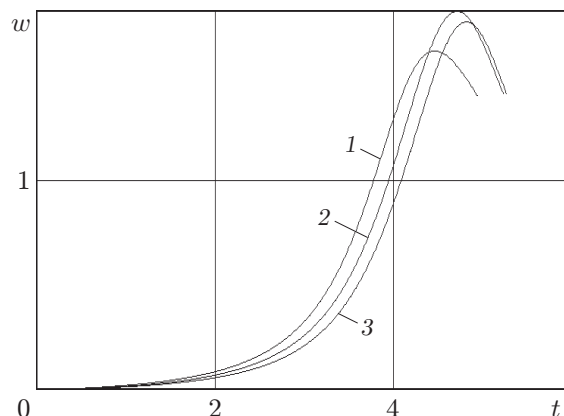


Рис. 6

Выводы. Исследования нелинейных динамических задач об устойчивости изотропных и ортотропных вязкоупругих пластин показывают, что при расчете вязкоупругих конструкций вязкоупругие свойства материала необходимо учитывать не только по сдвиговым, но и по остальным направлениям одновременно;

в качестве ядер релаксации, учитывающих вязкоупругие свойства материала конструкции, следует брать ядра типа Колтунова — Ржаницына, содержащие достаточное количество реологических параметров;

в зависимости от различных геометрических и физических параметров пластин необходимо выбрать соответствующие теории, согласующиеся с экспериментальными результатами: теорию Бергера, классическую теорию Кирхгофа — Лява или уточненную теорию Тимошенко.

ЛИТЕРАТУРА

1. Бадалов Ф. Б., Эшматов Х., Юсупов М. О некоторых методах решения систем интегро-дифференциальных уравнений, встречающихся в задачах вязкоупругости // Прикл. математика и механика. 1987. Т. 51, № 5. С. 867–871.
2. Бадалов Ф. Б., Эшматов Х., Акбаров У. Й. Устойчивость вязкоупругих пластин при динамических нагрузках // Прикл. механика. 1991. Т. 27, № 9. С. 892–899.
3. Bogdanovich A. E. Nonlinear dynamic problems for composite cylindrical shells. N. Y.: Elsevier science publishers, 1993.
4. Sun Y. X., Zhang S. Y. Chaotic dynamic analysis of viscoelastic plates // Intern. J. Mech. Sci. 2001. V. 43. P. 1195–1208.
5. Touati D., Cederbaum G. Influence of large deflections on the dynamic stability of nonlinear viscoelastic plates // Acta Mech. 1995. V. 113. P. 215–231.
6. Cederbaum G. Dynamic instability of viscoelastic orthotropic laminated plates // Composite Struct. 1991. V. 19. P. 131–144.
7. Ambartsumyan S. A. Theory of anisotropic plates. Stamford: Technomic, 1970.
8. Вольмир А. С. Нелинейная динамика пластинок и оболочек. М.: Наука, 1972.
9. Eshmatov B. Kh. Nonlinear vibrations of viscoelastic orthotropic plates from composite materials // Proc. of the 3rd M.I.T. conf. on computational fluid and solid mechanics, Boston (USA), 14–17 June, 2005. Cambridge: Cambridge Univ., 2005. P. 93.
10. Shirakawa K. Effects of shear deformation and rotary inertia on vibration and buckling of cylindrical shells // J. Sound and Vibration. 1983. V. 91, N 3. P. 425–437.

11. **Wang X.** Numerical analysis of moving orthotropic thin plates // Computers and Struct. 1999. V. 70. P. 467–486.
12. **Awrejcewicz J., Kryśko A. V.** Analysis of complex parametric vibrations of plates and shells using Bubnov — Galerkin approach // Arch. Appl. Mech. 2003. V. 73. P. 495–504.
13. **Kubenko V. D., Koval'chuk P. S.** Influence of initial geometric imperfections on the vibrations and dynamic stability of elastic shells // Intern. Appl. Mech. 2004. V. 40, N 8. P. 847–877.
14. **Колтунов М. А.** Ползучесть и релаксация. М.: Высш. шк., 1976.
15. **Эшматов Б. Х.** Математическая модель задачи о нелинейных колебаниях и динамической устойчивости вязкоупругих ортотропных оболочек с учетом деформации сдвига и инерции вращения // Докл. АН Республики Узбекистан. 2005. № 1. С. 13–16.

Поступила в редакцию 18/V 2005 г.
